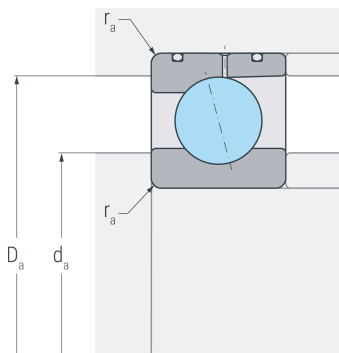
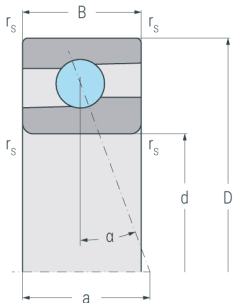
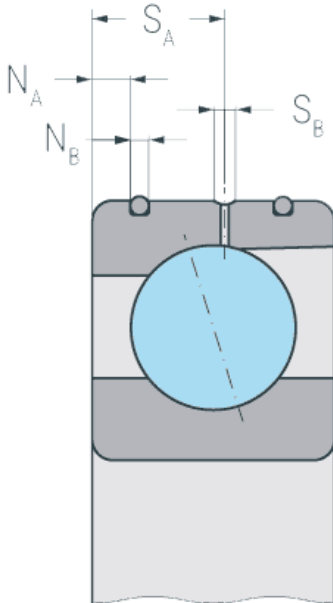


XC71911C.DLR.T.P4S

Hochgeschwindigkeits-Hybridspindellager, angestellt, paar- oder satzweise, Druckwinkel 15°, eine Schmierille mit zwei Schmierbohrungen, zwei Ringnuten mit O-Ringen, Hartgewebekäfig, eingengte Toleranzen, Ringe aus Cronidur® 30, Wälzkörper aus Siliziumnitrid



Abmessungen

| | | | |
|--------------------------|------|-----|-------------------------|
| d | (mm) | 55 | Bohrungsdurchmesser |
| D | (mm) | 80 | Außendurchmesser |
| B | (mm) | 13 | Breite |
| a | (mm) | 16 | Stützweite |
| r_{s min} | (mm) | 0.6 | minimaler Kantenabstand |

Druckwinkel

| | | | |
|----------|-----|----|-------------|
| α | (°) | 15 | Druckwinkel |
|----------|-----|----|-------------|

DLR-Abmessung

| | | | |
|----------------------|------|-----|--------------------------|
| N_B | (mm) | 1.5 | Breite der Nut |
| N_A | (mm) | 2.8 | Abstand der Nut |
| S_B | (mm) | 1.6 | Breite der Schmierrille |
| S_A | (mm) | 7.2 | Abstand der Schmierrille |

Anschlussmaße

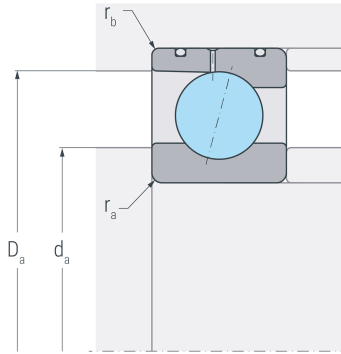
| | | | |
|--------------------------|------|------|---------------------------------|
| d_a h12 | (mm) | 60 | Durchmesser der Wellenschulter |
| D_a H12 | (mm) | 75.5 | Durchmesser der Gehäuseschulter |
| r_{a max} | (mm) | 0.6 | maximaler Rundungsradius |

Gewicht

| | | | |
|-----------|--|-------|---------|
| kg | | 0.188 | Gewicht |
|-----------|--|-------|---------|

XC71911C.DLR.T.P4S

Hochgeschwindigkeits-Hybridspindellager, angestellt, paar- oder satzweise, Druckwinkel 15°, eine Schmierille mit zwei Schmierbohrungen, zwei Ringnuten mit O-Ringen, Hartgewebekäfig, eingengte Toleranzen, Ringe aus Cronidur® 30, Wälzkörper aus Siliziumnitrid



Leistungsdaten

| | | | |
|--------------------------|----------------------|-------|---------------------------------|
| C_r | (kN) | 21.7 | dynamische Tragzahl, radial |
| C_{0r} | (kN) | 7.8 | statische Tragzahl, radial |
| C_{ur} | (kN) | 0.736 | Ermüdungsgrenzbelastung, radial |
| n_{G oil} | (min ⁻¹) | 52000 | Grenzdrehzahl, Ölschmierung |
| F_{VL} | (N) | 32 | Vorspannkraft, leicht |
| F_{VM} | (N) | 96 | Vorspannkraft, mittel |
| F_{VS} | (N) | 192 | Vorspannkraft, schwer |
| C_{aL} | (N/μm) | 37 | axiale Steifigkeit, leicht |
| C_{aM} | (N/μm) | 57 | axiale Steifigkeit, mittel |
| C_{aS} | (N/μm) | 77 | axiale Steifigkeit, schwer |
| K_{aEL} | (N) | 95 | Abhebekraft, leicht |
| K_{aEM} | (N) | 296 | Abhebekraft, mittel |
| K_{aES} | (N) | 619 | Abhebekraft, schwer |